

Н.І. Дикань

ЧЕТВЕРТИННІ І РЕЦЕНТНІ ОСТРАКОДИ ТИРЕНСЬКОГО Й ЧЕРВОНОГО МОРІВ

ЧАСТИНА 1: BAIRDIIDAE, BYTHOSYPRIDIDAE, CYTHERELLIDAE

Систематичне вивчення четвертинних і рецентних остракод Тиренського моря (шельф, глибоководна западина) та Червоного моря (прибережна зона коралових рифів) містить систематичний опис 14 видів остракод рядів Podocoripida (родина Bairdiidae, Bythocyprididae) і Platycoripida (родина Cytherellidae). Для видів, визначених у номенклатурі *sp.nov.* (3 види), *sp.* (2 види), *aff.* (1 вид), окрім синоніміки, розмірів, місцезнаходження, стратиграфічного положення й географічного поширення, надано голотип і діагноз. Зображення зовнішньої і внутрішньої будови черепашки зроблено на SEM JEOL JSM-6490 LV (6 фототаблиць).

Ключові слова: остракоди, систематика, Тиренське море, Червоне море, квартал, сучасні види.

Вступ. Складну неоген-четвертинну історію Середземного моря як проміжної ланки між Атлантичним океаном і системою внутрішніх морів (Чорного, Азовського, Каспійського) досліджено за різними групами викопних організмів (остракодами, форамініферами, моллюсками). Викопні остракоди Тиренського моря вивчено з відслонень міоценових відкладів (о. Сардинія, Bossio et al., 2006), ранньо- та середньоміоценових відкладів (о. Сардинія; Bonaduce, Russo, 1984), верхньопліоценових – плейстоценових відкладів (о. Сіцилія; Sciuto, 2009, 2012, 2014), пізньомесинських відкладів (Абруццо, Центральна Італія; Gliozzi, 1999), нижньоплейстоценових відкладів (о. Сіцилія; Athersuch, Horne, 1985), пізньочетвертинних відкладів (Тасканія, Центральна Італія; Mazzini et al., 1999; Bossio, Gliozzi, 2004), тортон – месинських відкладів (о. Сіцилія; Ciampo, 1986). Остракоди Червоного моря досліджено з палеогенових (Reyment, 2005) і еоценових (Elawa, 2005a, b) відкладів Єгипту (долина р. Ніл), а сучасні остракоди (наведено видовий склад черепашкових рачків прибережних коралових біотопів) – з північно-західного узбережжя Єгипту (затока Сафага; Helal et al., 2004; Teeter, 1973).

Мета і завдання дослідження. В акваторії Тиренського моря остракодів не вивчали, тому метою дослідження стало вивчення викопних і рецентних остракодів шельфу й глибоководної западини Тиренського моря, а також сучасних остракодів прибережної мілководної частини Червоного моря. Остракоди Тиренського моря різноманітні за родовим і видовим складом (85 видів), численні в зразках і мають гарний ступінь збереженості. Перший цикл монографічного вивчення остракодів Тиренського й Червоного морів містить стислу інформацію щодо 11 видів ряду Podocoripida, з яких 8 видів належать до родини Bairdiidae, 3 види – до родини Bythocyprididae і ряду Platycoripida (3 види родини Cytherellidae), а саме: синоніміку, місцезнаходження, стратиграфічне положення, географічне поширення; для нових видів та видів у вільній номенклатурі – також голотип і діагноз; розміри наведено в підписах до палеонтологічних таблиць.

Фактичний матеріал. Викопні й рецентні остракоди зібрано під час експедиції науково-дослідного судна НАН України (1987 р.) у південній частині Тиренського моря в межах Тиренської котловини та Афрікано-Сицилійського порогу, у Туніській протоці, у протоці Кітіра між Іонічним та Егейським морями. За геологічними профілями від мілководної зони (65 м) до глибоководної (3490 м) під час колонкового буріння на остракоди відібрано 148 зразків з 28 ґрунтових станцій, зокрема й зі станції в глибоководній частині (1000-2500 м) протоки Кітіра у східній частині Середземного моря між островами Кітіра та Крит. Рецентні остракоди Червоного моря (10 зразків) автор зібрав з прибережних коралових біотопів на північному та північно-західному узбережжі Єгипту (Шарм-ель-Шейх, Сафага).

© Н.І. Дикань, 2018

Методи дослідження. Зразки на остракоди відібрано через 10 см по всьому вертикальному розрізу донних відкладів. Морфологію зовнішньої та внутрішньої будови черепашки вивчено за допомогою SEM JEOL JSM-6490 LV.

Виклад основного матеріалу. Систематика.

Class Ostracoda Latreille, 1806
Subclass Podocopa G.O. Sars, 1866
Ряд Podocopida G.W. Müller, 1894
Підряд Bairdiocopina Gründel, 1967
Надродина Bairdioidea G.O.Sars, 1865
Родина Bairdiidae G.O.Sars, 1866
Pід Bairdia M'Coу, 1844

Bairdia serrata G.W. Müller, 1894

Табл. 1, фіг. 1-2.

Bairdia serrata: Barbeito-González, 1971, S. 264, Taf. II, Abb. 1-3e; Taf. XLV, Abb. 16, 17.

Місцезнаходження. Верхньоплейстоценові відклади: Тиренське море, 2670 м, мул.
Сучасні відклади: Тиренське море, 246 м, пісок.

Стратиграфічне положення. Сучасні відклади: Егейське море (о-ви Наксос, Парос), Чорне море (Крим, бухта Омега).

Географічне поширення. Егейське море, Тиренське море.

Bairdia aff. frequens G.W. Müller, 1894

Табл. 1, фіг. 3.

Bairdia aff. frequens: Barbeito-González, 1971, S. 265, Taf. IV, Abb. 1-3b, Taf. XLV, Abb. 27, 28;

Bairdia sp. 2: Barbeito-González, 1971, S. 266, Taf. IV, Abb. 1-3e.

Діагноз. Черепашка неправильно субтрикутна, велика, укорочена. Максимальна опуклість – у задній третині стулки. Спинний край високий, прямий у передньоспинній частині, опуклий у задній половині стулки. Черевний край прямий. Передній кінець вузько заокруглений вище поздовжньої осі. Задній кінець витягнутий, низький, з вузько заокругленою вершиною нижче поздовжньої осі. Мезоскульптура слабо виражена, дрібноямкувата.

Місцезнаходження. Сучасні відклади: Тиренське море, 246 м, пісок.

Стратиграфічне положення. Сучасні відклади: Егейське море (о-ви Наксос та Парос).

Географічне поширення. Егейське море, Тиренське море.

Bairdia sp.

Табл. 1, фіг.4.

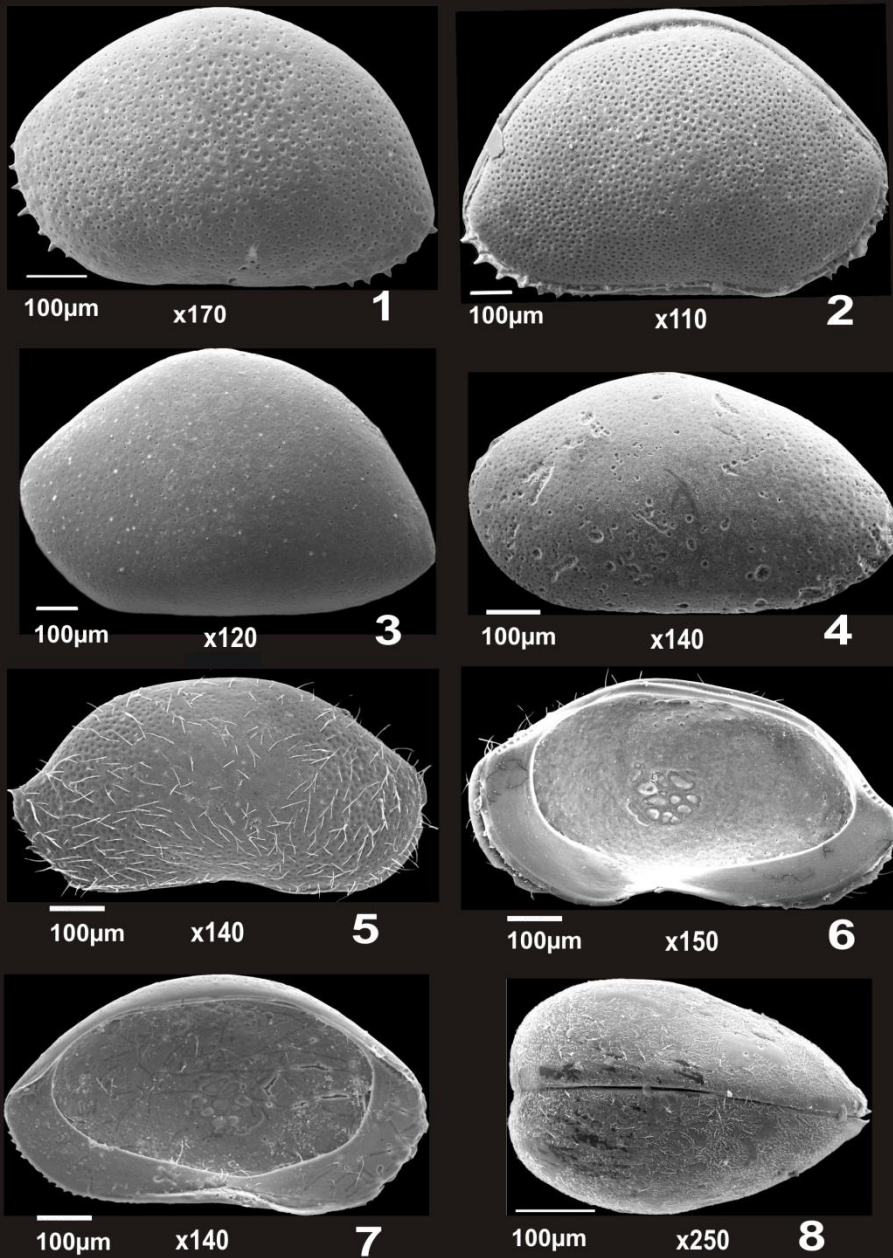
Діагноз. Черепашка неправильно субовальна. Максимальна опуклість є в центральній частині стулки. Спинний край слабо опуклий. Черевний край слабо увігнутий. Передній кінець скошений зі сторони спинного й черевного кінців, широко заокруглений. Задній кінець витягнутий, низький, вузько заокруглений нижче поздовжньої осі. Мезоскульптура дрібноямкувата.

Порівняння. За загальною морфологією черепашка близька до самки *Bairdia aff. frequens* (колекція автора), від якої відрізняється більшим ступенем подовженості й меншим ступенем опуклості, розміщенням максимальної опуклості в центральній частині, більшою заокругленістю переднього кінця в передньочеревній частині, чіткіше вираженою дрібноямкуватою скульптурою. Можна припустити, що зазначені відмінності – це ознаки статевого диморфізму, а *Bairdia* sp. – самцем виду *Bairdia aff. frequens*.

Місцезнаходження. Червоне море (Шарм-ель-Шейх), прибережна мілководна припливно-відпливна зона коралових рифів, 0.2-0.4 м, водорості на поверхні корала.

Географічне поширення. Червоне море.

Таблиця 1



Таблиця 1.

Фіг. 1–2. *Bairdia serrata* G.W. Müller, 1894

1 – інв. № 2589–331, доросла особина, ліва стулка, x 170; Тиренське море, зразок Д87-15, інт. 96-100 см, L = 0.67 мм, L/H = 1.49;

2 – інв. № 2589–306, доросла особина, права стулка, х 100; Тиренське море, зразок Д87-12, інт. 0-30 см, L = 1.05 мм, L/H = 1.50

Фіг. 3. *Bairdia* aff. *frequens* G.W. Müller, 1894 – інв. № 2589–307, доросла особина, ліва стулка, х 120; Тиренське море, зразок Д87-12, інт. 0-30 см, L = 0.99 мм, L/H = 1.52

Фіг. 4. *Bairdia* sp. – інв. № 2589–25, доросла особина, ліва стулка, х 140; Червоне море, зразок № 3, L = 0.85 мм, L/H = 1.77

Фіг. 5–8. *Bairdia raripila* G.W. Müller, 1894

5 – інв. № 2589–32, доросла особина, права стулка, х 140; Червоне море, зразок № 3, L = 0.83 мм, L/H = 1.93;

6 – інв. № 2589–33, доросла особина, права стулка, з внутрішньої сторони, х 150; Червоне море; там само, L = 0.81 мм, L/H = 1.88;

7 – інв. № 2589–34, доросла особина, ліва стулка, з внутрішньої сторони, х 140; Червоне море; там само, L = 0.83 мм, L/H = 1.77;

8 – інв. № 2589–35, зі спинної сторони, х 250; Червоне море; там само, L = 0.45 мм

***Bairdia raripila* G.W. Müller, 1894**

Табл. 1, фіг. 5-8.

Bairdia raripila: Шорников, 1969, с. 169, табл.III, фіг. 1.

Місцезнаходження. Червоне море (Шарм-ель-Шейх), прибережна мілководна припливно-відливна зона коралових рифів, 0.2-0.4 м, водорості на поверхні корала.

Стратиграфічне положення. Верхній плейстоцен, карангатський горизонт: Чорне море (Керченський п-ів). Сучасні відклади: Тиренське море (Неаполітанська затока), Чорне море (Крим, бухта Омега).

Географічне поширення. Тиренське море, Чорне море, Червоне море.

Під *Neonesidea Maddocks*, 1969

***Neonesidea minor* G.W. Müller, 1894**

Табл. 2, фіг. 1-4.

Neonesidea minor: Шорников, 2012, с. 257, фототаблиця.

Місцезнаходження. Сучасні відклади: Тиренське море, 185,5 м, пісок.

Стратиграфічне положення. Сучасні відклади: Чорне море (Прибосфор'я).

Географічне поширення. Тиренське море, Чорне море (Прибосфор'я).

***Neonesidea longisetosa* (Brady, 1902)**

Табл. 2, фіг. 5-6.

Neonesidea longisetosa: Keyser, Schöning, 2000, Pl. 2, Фіг. 19.

Місцезнаходження. Червоне море (Шарм-ель-Шейх), прибережна мілководна припливно-відливна зона коралових рифів, 0.2-0.4 м, водорості на поверхні корала.

Стратиграфічне положення. Голоцен: Карибське море; Саргасове море, Бермудські острови. Сучасні відклади: Червоне море.

Географічне поширення. Саргасове, Карибське моря, Червоне море.

Під *Paranesidea Maddocks*, 1969

***Paranesidea sterreri* Maddocks, 1986**

Табл. 3, фіг. 1-4.

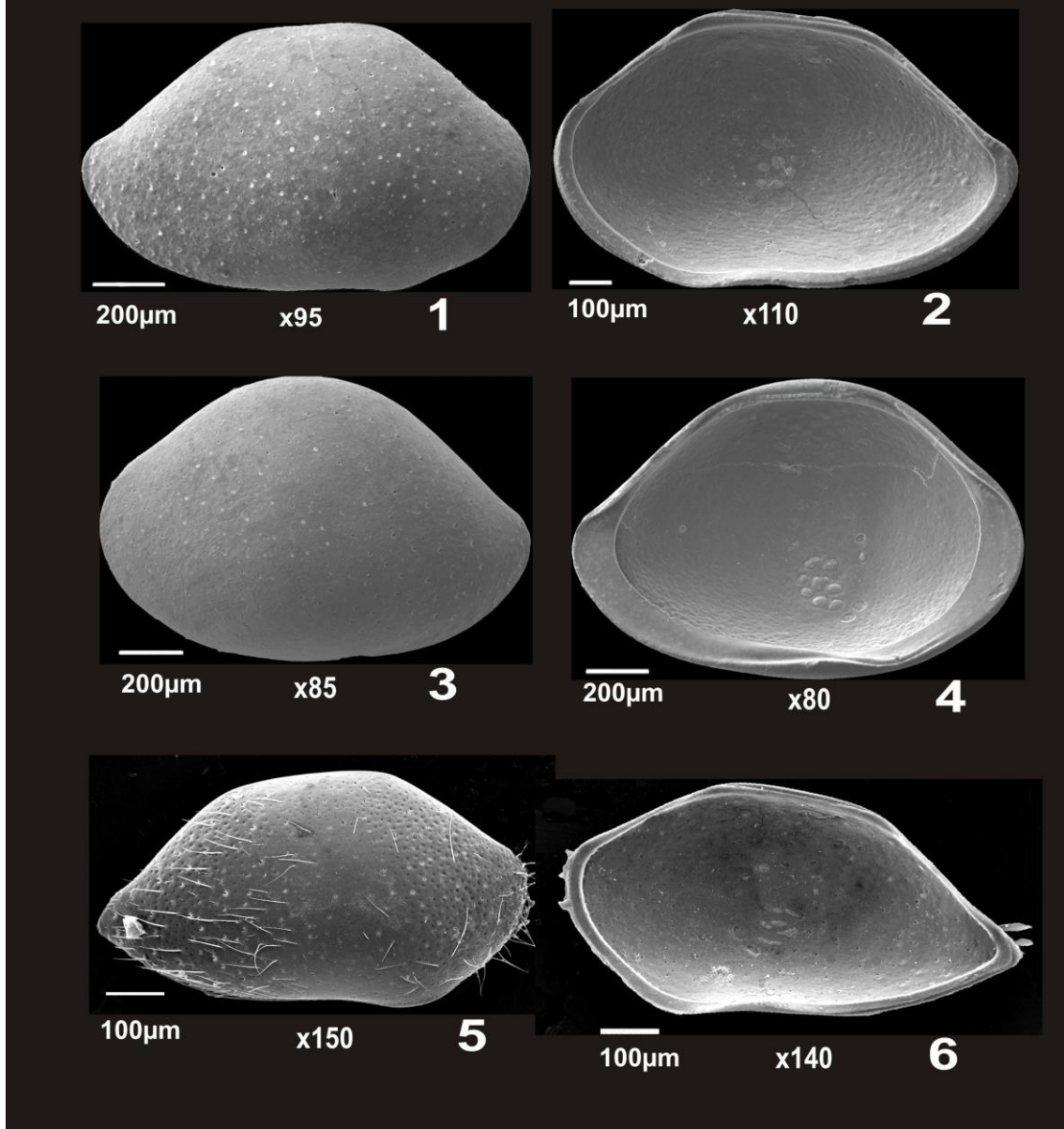
Paranesidea sterreri: Maddocks, Iliffe, 1986, Fir s. 7, A-N, 18I, J; Keyser, Schöning, 2000, Pl. 2, Фіг. 21, 22.

Місцезнаходження. Сучасні відклади: Тиренське море, 246 м, пісок. Сучасні відклади: Червоне море (затока Сафага), прибережна піщана зона з поодинокими коралами, 1.2-1.5 м, підніжжя корала, пісок. Червоне море (Шарм-ель-Шейх), прибережна мілководна припливно-відливна зона коралових рифів, 0.2-0.4 м, водорості на поверхні корала.

Стратиграфічне положення. Голоцен: Карибське море; Саргасове море, о. Бермуди,

Географічне поширення. Саргасове море, Карибське море.

Таблиця 2



Таблиця 2.

Фиг. 1–4. *Neonesidea minor* G.W. Müller, 1894

1 – інв. № 2589–315, доросла особина, самка, права стулка, x 95; Тиренське море, зразок Д87-26, інт. 0–30 см, L = 1.24 мм, L/H = 1.65;

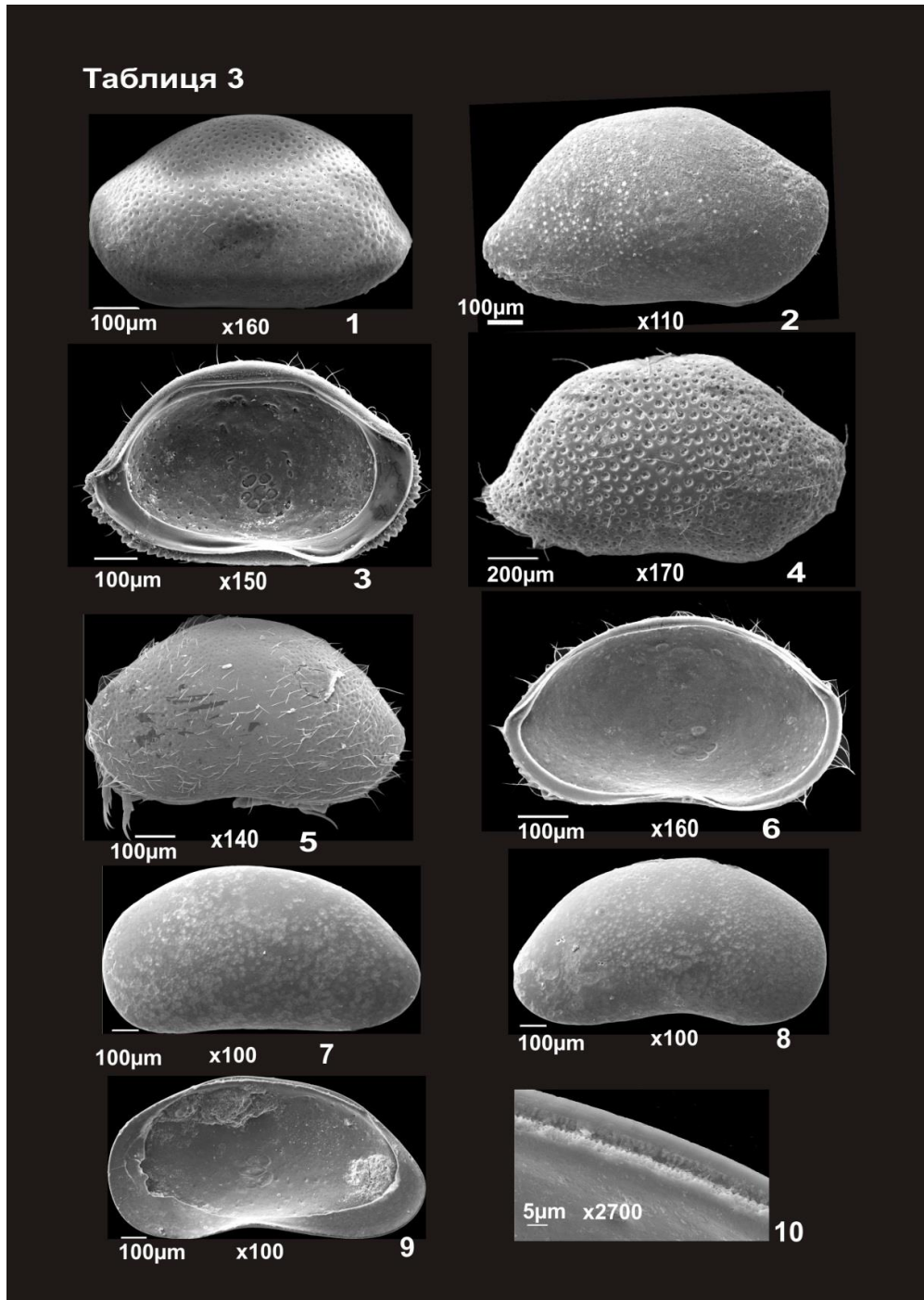
2 – інв. № 2589–317, доросла особина, самка, права стулка, x 110; там само, L = 1.12 мм, L/H = 1.65;

3 – інв. № 2589–324, доросла особина, самка, ліва стулка, x 85; там само, L = 1.29 мм, L/H = 1.54;

4 – інв. № 2589–323, доросла особина, самка, права стулка, з внутрішньої сторони, x 80; там само, L = 1.45 мм, L/H = 1.51;

Фиг. 5–6. *Neonesidea longisetosa* (Brady, 1902)

5 – інв. № 2589–21а, доросла особина, самка, права стулка, x 150; Червоне море, зразок № 3, L = 0.75 мм, L/H = 1.67;
 6 – інв. № 2589–22а, доросла особина, самець, права стулка, з внутрішньої сторони, x 140; Червоне море, зразок № 3, L = 0.83 мм, L/H = 1.98



Таблиця 3.

Фіг. 1–4. *Paranesidea sterreri* Maddocks, 1986

1 – інв. № 2589–24, доросла особина, ліва стулка, x 160; Червоне море, зразок № 3, L = 0.68 мм, L/H = 1.62;

2 – інв. № 2589–308, доросла особина, права стулка, з внутрішньої сторони, х 110; Тиренське море, зразок Д87-12, інт. 0-30 см, L = 1.10 мм, L/H = 1.75;

3 – інв. № 2589–26, доросла особина, ліва стулка, з внутрішньої сторони, х 150; Червоне море, зразок № 3, L = 0.80 мм, L/H = 1.63;

4 – інв. № 2589–402, доросла особина, права стулка, х 170; зразок № 2, L = 0.35 мм, L/H = 1.75

Фіг. 5–6. *Paranesidea* sp. 1

5 – інв. № 2589–30а, доросла особина, ліва стулка, х 140; Червоне море, зразок № 3, L = 0.83 мм, L/H = 1.69;

6 – інв. № 2589–31а, доросла особина, ліва стулка, з внутрішньої сторони, х 160; там само, L = 0.67 мм, L/H = 1.71

Фіг. 7–10. *Bythocypris floridensis* sp.nov.

7 – інв. № 2589–313, доросла особина, самка, ліва стулка, х 100; Тиренське море, зразок Д87-12, інт. 0-30 см, L = 1.16 мм, L/H = 1.88;

8 – інв. № 2589–312, доросла особина, самка, права стулка, х 100; Тиренське море, зразок Д87-12, інт. 0-30 см, L = 1.16 мм, L/H = 1.88;

9 – інв. № 2589–314, доросла особина, самка, права стулка, з внутрішньої сторони, х 100, Тиренське море, зразок Д87-12, інт. 0-30 см, L = 1.18 мм, L/H = 1.94;

10 – замок правої стулки, х 2700

***Paranesidea* sp. 1**

Табл. 3, фіг. 5-6.

Діагноз. Черепашка неправильно субовальна. Спинний край значно опуклий, симетрично скошений до переднього й заднього кінців. Черевний край значно коротко увігнутий. Передній кінець вище лінії поздовжньої осі утворює заокруглений тупий кут. Задній кінець низький, нижче поздовжньої осі утворює заокруглений тупий кут. На лівій стулці в задньочеревній частині розвинені середнього розміру гострі кінцеві шипи. У передній і задній третині поверхня дрібноямкувата.

Порівняння. Від *Paranesidea* sp. (Cronin, 1983/1984, Pl. 1, D, L/H = 1.5) відрізняється більшим ступенем подовженості, плавно заокругленим спинним краєм, увігнутим черевним краєм, відсутністю кінцевих шипів уздовж заднього кінця, дрібноямкуватою мезоскульптурою, вузькою безструктурною пластинкою на передньому й задньому кінцях.

Місцезнаходження. Червоне море (Шарм-ель-Шейх), прибережна мілководна припливно-відливна зона коралових рифів, 0.2-0.4 м, водорості на поверхні корала.

Стратиграфічне положення. Лише рецептні види.

Географічне поширення. Червоне море.

Родина Bythocypridae Maddocks, 1969

Рід Bythocypris Brady, 1880

Bythocypris floridensis sp.nov.

Табл. 3, фіг. 7-10.

Bythocypris cf. *B. reniformis*: Cronin, 1983/1984, Pl. II, F, H.

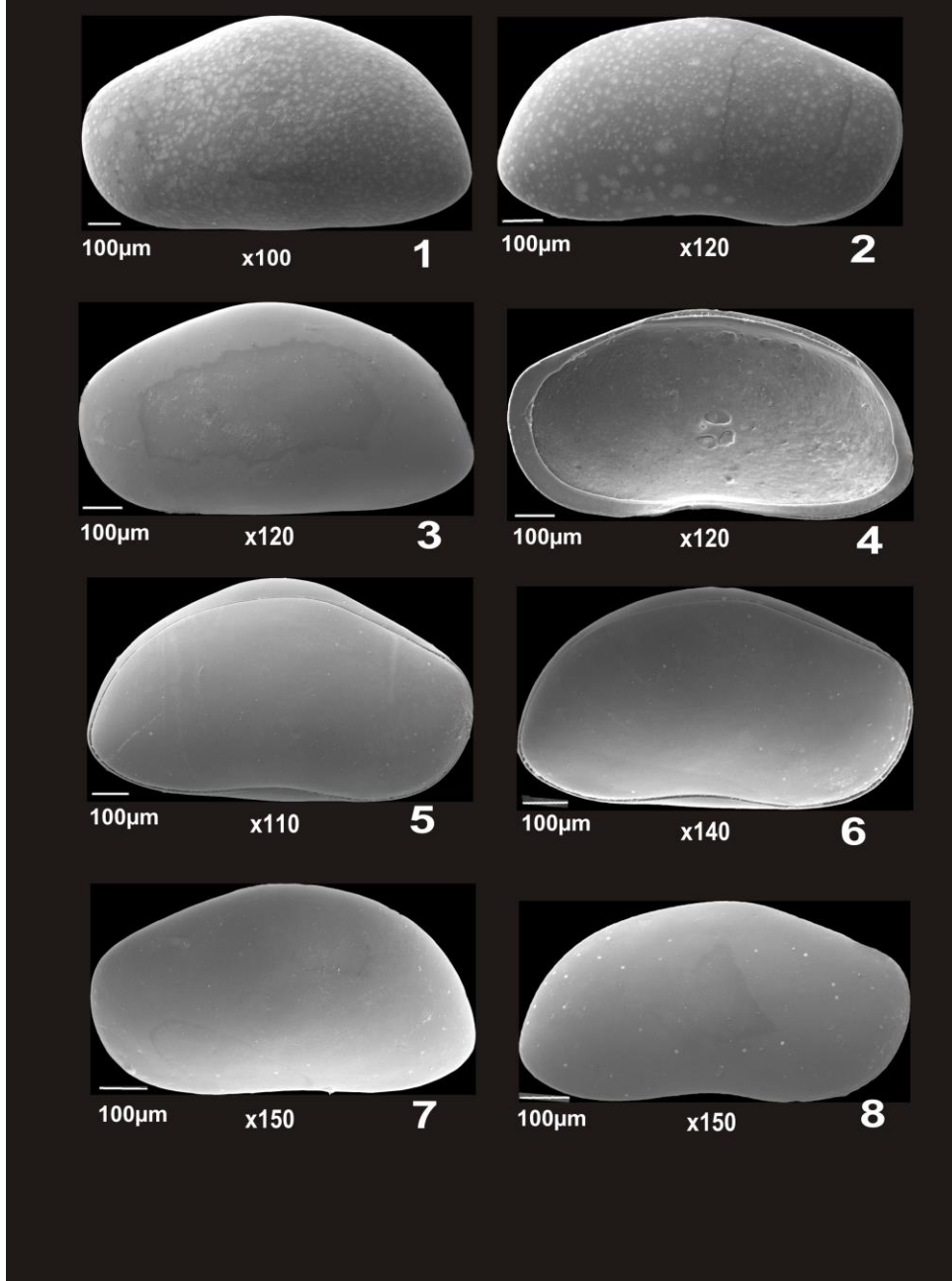
Голотип. *Bythocypris floridensis* sp.nov. (табл. 4, фіг. 1 – доросла особина, самка, ліва стулка із зовнішньої сторони, інв. № 2589–313; фіг. 2 – доросла особина, самка, права стулка із зовнішньої сторони, інв. № 2589–312; фіг. 3 – доросла особина, самка, права стулка із внутрішньої сторони, інв. № 2589–314). Сучасний вид, північно-західна частина Тиренського моря, свр. Д87-12, інт. 0-30 см. Зберігається у Відділі геології антропогену ІГН НАН України (Київ, Україна), SEM фото.

Матеріал. 3 стулки.

Діагноз. Черепашка велика, неправильно субовальної форми. Спинний край рівномірно опуклий. Передній кінець слабо скошений у передньоспинній частині. Задній кінець дуже скошений у задньоспинній частині, вузько заокруглений нижче поздовжньої осі. Черевний край на правій стулці дуже увігнутий, на лівій – майже прямий. Мезоскульптура нечітка ямкувата.

Мінливість. Проявляється у ступені подовженості черепашки в самки (L/H = 1.88–1.94, колекція автора, Тиренське море, сучасний вид; L/H = 1.94–2.03, Cronin, 1983/1984, Саргасове море, голоцен, атлантичні верстви).

Таблиця 4



Таблиця 4.

Фіг. 1–8. *Bythocypris cronini* sp. nov.

1 – інв. № 2589–289, доросла особина, самка, ліва стулка, x 100; Тиренське море, зразок Д87-3, інт. 47-49 см, L = 1.12 мм, L/H = 1.73;

2 – інв. № 2589–295, доросла особина, самка, права стулка, x 120; Тиренське море, зразок Д87-15, інт. 76-80 см, L = 1.0 мм, L/H = 1.92;

- 3 – інв. № 2589–251, доросла особина, самка, ліва стулка, x 120; Тиренське море, зразок Д87-25, інт. 70-74 см, L = 1.0 мм, L/H = 1.85;
- 4 – інв. № 2589–296, доросла особина, самка, права стулка, x 120; Тиренське море, зразок Д87-15, інт. 76-80 см, L = 1.01 мм, L/H = 1.94;
- 5 – інв. № 2589–286, доросла особина, самка, черепашка, права стулка, x 110; Тиренське море, зразок Д87-15, інт. 28-30 см, L = 1.06 мм, L/H = 1.96;
- 6 – інв. № 2589–287, личинка, VII стадія, черепашка, x 140; Тиренське море, зразок Д87-15, інт. 28-30 см; права стулка, L = 0.85 мм, L/H = 1.98; ліва стулка, L = 0.88 мм, L/H = 1.8;
- 7 – інв. № 2589–297, личинка, V-VI стадія, ліва стулка, x 150; Тиренське море, зразок Д87-15, інт. 76-80 см, L = 0.81 мм, L/H = 1.8;
- 8 – інв. № 2589–255, личинка, V-VI стадія, права стулка, x 150; Тиренське море, зразок Д87-25, інт. 60-64 см, L = 0.80 мм, L/H = 1.95

Порівняння. Від *Bythocypris reniformis* Brady, 1880 (Brady, 1880; Accessed at: <http://www.marinespecies.org/ostracoda/aphia.php?p=taxdetails&id=421271> on 2018-06-20) відрізняється плавно заокругленою формою переднього кінця, дуже увігнутих черевним краєм на правій стулці, ямкуватою поверхнею.

Місцезнаходження. Сучасні відклади: Тиренське море, 246 м, пісок.

Стратиграфічне положення. Сучасні відклади: Саргасове море (протоки п-ова Флорида).

Географічне поширення. Саргасове море, Тиренське море.

***Bythocypris cronini* sp. nov.**

Табл. 4, фіг. 1-8, Табл. 5, фіг. 1-3.

Bythocypris cf. *B. affinis*: Cronin, 1983/1984, Pl. II, E, G.

Голотип. *Bythocypris cronini* sp.nov. (табл. 5, фіг. 2 – доросла особина, самка, права стулка із зовнішньої сторони, інв. № 2589–295; фіг. 3 – доросла особина, самка, ліва стулка із зовнішньої сторони, інв. № 2589–251; фіг. 4 – доросла особина, самка, права стулка із внутрішньої сторони, інв. № 2589–296). Плейстоцен, північно-західна частина Тиренського моря, свр. Д87-15, інт. 70-80 см. Зберігається у Відділі геології антропогену ІГН НАН України (Київ, Україна), SEM фото.

Матеріал. 5 стулоч і 2 цілі черепашки дорослих особин, 9 стулоч личинок різних стадій розвитку.

Діагноз. Черепашка велика, асиметричної форми (права стулка неправильно субовальна, ліва – наближена до субтрикутної, набагато більша за праву). Максимальна висота стулки – посередині стулки, максимальна опуклість – у центральній частині стулки. Спинний край на лівій стулці дуже опуклий, має форму заокругленого тупого кута; на правій – слабо опуклий. Передній кінець високий, прямовисно скошений у передньоспинній частині, широко заокруглений вище поздовжньої осі. Задній кінець низький, вузько заокруглений нижче поздовжньої осі. Черевний край широко слабо увігнутий (права стулка), прямий (ліва стулка). Поверхня стулки гладка. Безструктурна пластинка вузька, у личинок III стадії – широка.

Порівняння. Від *Bythocypris affinis* (Brady, 1886) (Yasuhara et al., 2009, p. 884, Pl. 2, figs . 1–4) відрізняється субтрикутною формою лівої стулки, опуклим спинним краєм, прямовисно скошеним переднім кінцем у передньоспинній частині та меншим скосом у передньочеревній частині, вужче скругленим і дужче витягнутим заднім кінцем, вузькою безструктурною пластинкою на передньому й задньому кінцях.

Місцезнаходження. Тиренське море, 1290 м, мул.

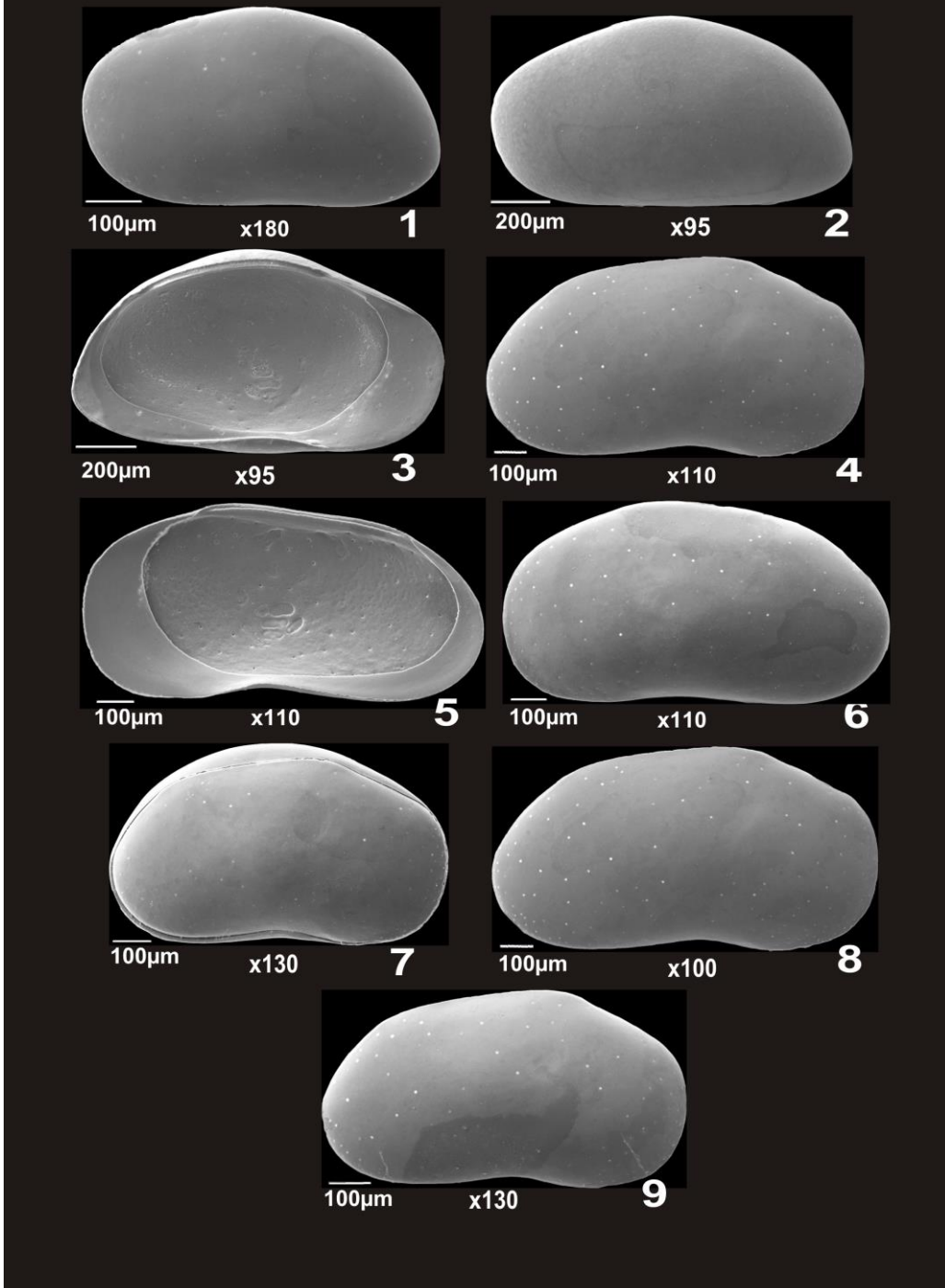
Стратиграфічне положення. Сучасні відклади: Саргасове море (протоки п-ова Флорида).

Географічне поширення. Саргасове море, Тиренське море.

***Bythocypris tireniensis* sp. nov.**

Табл. 5, фіг. 4-9.

Таблиця 5



Таблиця 5.

Фіг. 1–3. *Bythocypris cronini* sp. nov.

1 – інв. № 2589–298, личинка, IV стадія, ліва стулка, x 180; Тиренське море, зразок Д87-15, інт. 76-80 см, L = 0.63 мм, L/H = 1.75;

2 – інв. № 2589–253, личинка, III стадія, ліва стулка, x 95; Тиренське море, зразок Д87-25, інт. 50-54 см, L = 0.61 мм, L/H = 1.91;

3 – інв. № 2589–267, личинка, III стадія, ліва стулка, x 95; Тиренське море, зразок Д87-3, інт. 19-22 см, L = 0.61 мм, L/H = 1.79

Фіг. 4–9. *Bythocypris tireniensis* sp. nov.

4 – інв. № 2589–347, доросла особина, самка, ліва стулка, x 110; Тиренське море, зразок Д87-7, інт. 129-133 см, L = 1.24 мм, L/H = 1.65;

5 – інв. № 2589–349, доросла особина, самець, права стулка, з внутрішньої сторони, x 110; Тиренське море, зразок Д87-7, інт. 155-165 см, L = 1.11 мм, L/H = 1.09;

6 – інв. № 2589–351, доросла особина, самець, ліва стулка, x 110; Тиренське море, зразок Д87-7, інт. 155-165 см, L = 1.11 мм, L/H = 1.88;

7 – інв. № 2589–348, доросла особина, самець, права стулка, x 100; Тиренське море, зразок Д87-7, інт. 155-165 см, L = 1.13 мм, L/H = 1.83;

8 – інв. № 2589–346, личинка, last стадія, черепашка, x 130; Тиренське море, зразок Д87-7, інт. 155-165 см, right valve, L = 0.87 мм, L/H = 1.8; LV, L = 0.89 мм, L/H = 1.65;

9 – інв. № 2589–350, личинка, last стадія, черепашка, right valve, x 130; Тиренське море, зразок Д87-7, інт. 155-165 см, L = 0.88 мм, L/H = 1.87.

Голотип. *Bythocypris tireniensis* sp. nov. (табл. 6, фіг. 4 – доросла особина, самка, ліва стулка із зовнішньої сторони, інв. № 2589–347, плейстоцен, північно-західна частина Тиренського моря, свр. Д87-7, інт. 129-133 см; фіг. 5 – доросла особина, самець, права стулка із внутрішньої сторони, інв. № 2589–349, плейстоцен, північно-західна частина Тиренського моря, свр. Д87-7, інт. 155-165 см; фіг. 6 – доросла особина, самець, ліва стулка із внутрішньої сторони, інв. № 2589–351), там само. Зберігається у Відділі геології антропогену ІГН НАН України (Київ, Україна), SEM фото.

Матеріал. 1 стулка дорослої особи самки, 3 стулки дорослої особи самця, 3 стулки личинок останніх стадій.

Діагноз. Черепашка велика, субовальна (самка), неправильно субовальна (самець). Спинний край слабо опуклий (самка), коротко спрямлений (самець). Максимальна висота – у передній третині стулки, спинний та черевний краї майже паралельні. Передній кінець широко заокруглений, задній – рівномірно заокруглений у нижній половині стулки. Черевний край слабко увігнутий. Поверхня стулки гладка, з рідкими білими плямами. Безструктурна пластинка широка.

Порівняння. Від *Bythocypris affinis* (Brady, 1886) (Yasuhara et al., 2009, p. 884, Pl. 2, figs. 1–4) відрізняється відсутністю скошеності в нижній частині стулки на передньому кінці, більшою висотою рівномірно заокругленого заднього кінця.

Місцезнаходження. Тиренське море, 3250 м, мул.

Географічне поширення. Тиренське море.

Ряд Platycopida G.O. Sars, 1866

Підряд Platycopina G.O. Sars, 1866

Надродина Cytherelloidea, G.O. Sars, 1866

Родина Cytherellidae G.O. Sars, 1866

Під Cytherella Jones, 1849

Cytherella scutulum Ruggieri, 1976

Табл. 6, фіг. 1-5.

Cytherella scutulum: Guernet et al., 2003, S. 74, Pl. 1, Фіг. 1-2.

Місцезнаходження. Сучасні відклади: Тиренське море, 65–340 м, мул, пісок.

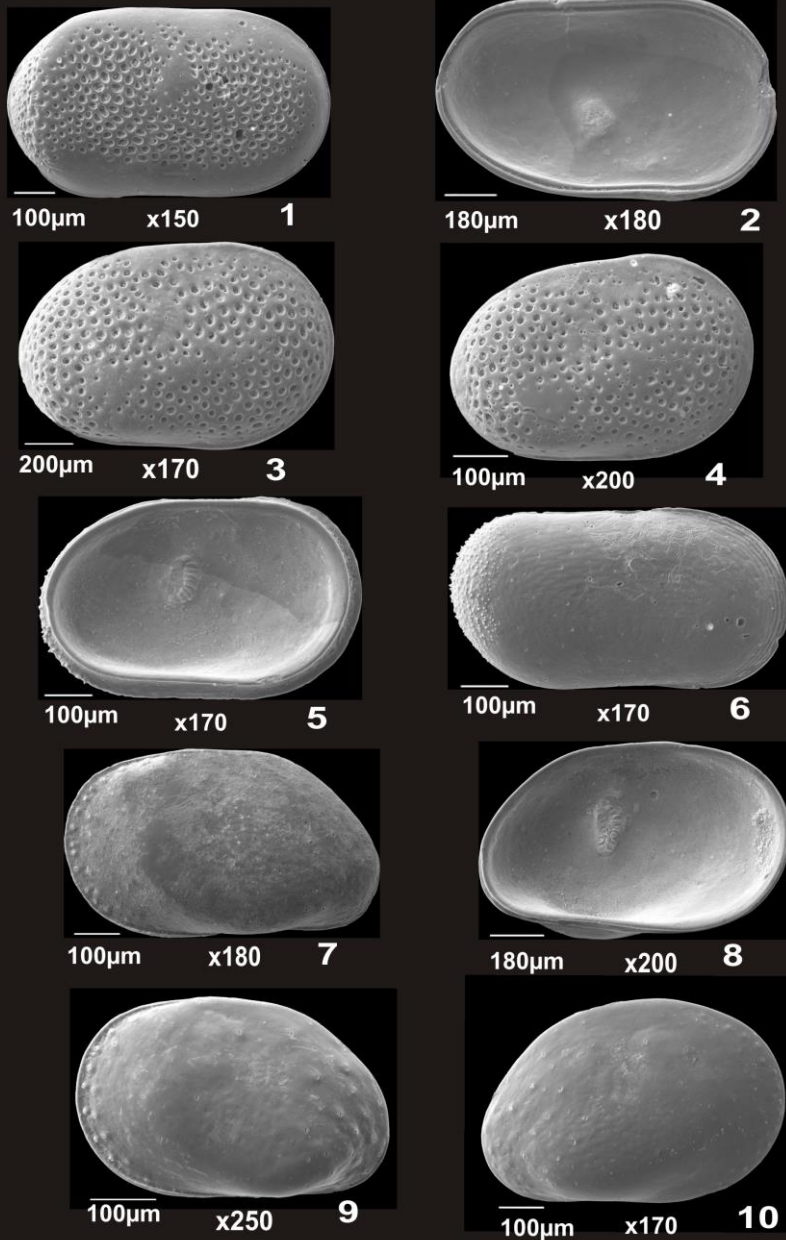
Стратиграфічне положення. Міоценові (тортон) – сучасні відклади: Іонічне море (Корінфська затока, Італія). Верхньопліоценові відклади: Егейське море (о. Кос, Греція). Верхньопліоценові – голоценові відклади: Іонічне море (п-ів Пелопонес, Греція).

Географічне поширення. Середземне, Егейське, Іонічне, Тиренське моря.

Cytherella serratula (Brady, 1880)

Табл. 6, фіг. 6.

Таблиця 6



Таблиця 6.

Фіг. 1–5. *Cytherella scutululum* G. Ruggieri, 1976

1 – інв. № 2589–360, доросла особина, самець, права стулка, x 150; Тиренське море, зразок Д87-9а, інт. 0-30 см, L = 0.81 мм, L/H = 1.69;

2 – інв. № 2589–372, доросла особина, самець, ліва стулка, з внутрішньої сторони, x 180;

Тиренське море, зразок Д87-9b, інт. 0-30 см, L = 0.67 мм, L/H = 1.68;

3 – інв. № 2589–272, доросла особина, самка, права стулка, x 170; Тиренське море, зразок Д87-27, інт. 0-30 см, L = 0.65 мм, L/H = 1.55;

4 – інв. № 2589–283, доросла особина, самка, права стулка, x 200; Тиренське море, зразок Д87-27, інт. 0-30 см, L = 0.56 мм, L/H = 1.47;

5 – інв. № 2589–273, доросла особина, самка, ліва стулка, x 170; Тиренське море, зразок Д87-27, інт. 0-30 см, L = 0.66 мм, L/H = 1.61

Фіг. 6. *Cytherella serratula* (Brady, 1880)

6 – інв. № 2589–276, доросла особина, самка, права стулка, x 170; Тиренське море, зразок Д87-28, інт. 0-30 см, L = 0.70 мм, L/H = 1.89

Фіг. 7–10. *Cytherella russoiforma* sp. nov.

7 – інв. № 2589–338, доросла особина, ліва стулка, x 180; Тиренське море, зразок Д87-25, інт. 130-134 см, L = 0.69 мм, L/H = 1.68;

8 – інв. № 2589–339, личинка, ліва стулка, з внутрішньої сторони, x 200; Тиренське море, зразок Д87-25, інт. 130-134 см, L = 0.57 мм, L/H = 1.63;

9 – інв. № 2589–345, личинка, ліва стулка, x 250; Тиренське море, зразок Д87-25, інт. 140-144 см, L = 0.47 мм, L/H = 1.57;

10 – інв. № 2589–344, доросла особина, права стулка, x 170; Тиренське море, зразок Д87-25, інт. 140-144 см, L = 0.66 мм, L/H = 1.47

Cytherella sp.: Cronin, 1983/1984, Pl. 6, E, самка;

Cytherella sp. 1: Ciampo, 1985, Tav. 1, Фіг. 1;

Cytherella vulgata: Babinot, Boukli-Hacene, 1998, Pl. 1, Фіг. 1.

Cytherella serratula: Brandão, 2008, S. 361–367, Фіг. s. 9A-I, Фіг. 10, Tab. 3.

Місцезнаходження. Сучасні відклади: Тиренське море, 181 м, мул.

Стратиграфічне положення. Олігоценові відклади: Лівія. Верхньоміоценові відклади (тортон): Південна Італія (п-ів Калабрія); месинські відклади: Алжир (мис Фігалло). Голоцен, атлантичні верстви?, сучасні відклади: Саргасове море (протоки п-ова Флорида). Сучасні відклади: Атлантичний океан, Великі Антильські острови (о. Кулебра).

Географічне поширення. Атлантичний океан (Великі Антильські острови), Саргасове море, Середземне море, Тиренське море.

***Cytherella russoiforma* sp. nov.**

Табл. 6, фіг. 7-10.

Голотип. *Cytherella russoiforma* sp. nov. (табл. 8, фіг. 1 – доросла особина, ліва стулка із зовнішньої сторони, інв. № 2589–338, фіг. 4 – доросла особина, права стулка із внутрішньої сторони, інв. № 2589–344). Плейстоцен, північно-західна частина Тиренського моря, свр. Д87-25, інт. 140-144 см. Зберігається у Відділі геології антропогену ІГН НАН України (Київ, Україна), SEM фото.

Матеріал. 2 стулки дорослих особин, 2 стулки личинок.

Діагноз. Черепашка асиметричної форми (права стулка неправильно яйцеподібна, ліва – неправильно субовальна), середнього розміру, укорочена. Максимальна висота посередині стулки. Максимальна опуклість у формі вузької черевної складки. Спинний край опуклий (права стулка), прямий (ліва стулка). Черевний край слабко увігнутий. Передній кінець високий, широко заокруглений, сплющений по краю лівої стулки. Задній кінець низький, надто скошений у задньоспинній частині, заокруглений нижче поздовжньої осі. Мезоскульптура гладка.

Порівняння. Від *Cytherella russoi* Sissingh, 1972 (Bonaduce, Russo, 1984, Pl. 2, фіг. 2 a, b) відрізняється вужче заокругленим і спрямленим у задньоспинній частині заднім кінцем, розміщенням максимальної опуклості у черевній частині стулки, розміщеними по краю переднього кінця в ряд поверхневими поровими каналами та їхньою формою.

Місцезнаходження. Тиренське море, 1290 м, мул.

Висновки. Остракоди із четвертинних і сучасних відкладів шельфу і глибоководної западини Тиренського моря представлені бентосними морськими видами, численними й

різноманітними за таксономічним складом. Започаткований цикл статей продовжить систематичний опис остракодів Середземного моря як підґрунтя подальших біостратиграфічних і зоогеографічних досліджень для уточнення історії розвитку Середземного басейну в неогені – кватерні.

СПИСОК ЛІТЕРАТУРИ

1. *Шорников Е.И.* Виды остракод новые для фауны Черного и Азовского морей // Тр. Всес. микропал. совещ. «Современная микропалеонтология». Геленджик. 2012. С. 257-259.
2. *Babinot J., Boukli-H.S.* The Messinian from the northern Tessala region (Orania, Algeria): mixt platform facies and their Ostracode assemblages // *Revue Micropaleontologie*. 1998. Vol. 41, no. 1. P. 3-17.
3. *Barbeito-González P.* Die Ostracoden des Küstenbereiches von Naxos (Griechenland) und ihre Lebensbereiche // *Mitt.Hamburg. Zool.Inst.* 1971. Band 67. S. 255-326.
4. *Bonaduce C., Russo A.* The Miocene Ostracodes of Sardinia // *Bollettino Societa Paleontologica Italiana*. 1984. Vol. 23, no. 2. P. 421-437.
5. *Brandão S.N.* First Record of a living Platycopida (Crustacea, Ostracoda) from Antarctic waters and a Discussion on *Cytherella serratula* (Brady, 1880) // *Zootaxa*. 2008. P. 349-372.
6. *Ciampo G.* Ostracoda del limete Tortoniano / Messiniano in alcune sezioni italiane // *Bollettino della Societa Paleontologica Italiana*. 1985. Vol. 24, no. 1. P. 29-110.
7. *Cronin T.* Batial ostracodes from the Florida-Hatteras slope, the straits of Floridfa, and the Blake Plateau // *Marine micropaleontology*. 1983/1984. Vol. 8. P. 89-119.
8. *Guemet C., Lemeille F., Sorel D. et al.* Ostracodes and Quaternary from Aigion (gulf of Corinth, Greece) // *Revue Micropaleontologie*. 2003. Vol. 46. P. 73-93.
9. *Keyser D., Schöning C.* Holocene Ostracoda (Crustacea) from Bermuda // *Senckenbergiana lethaea*. 2000. Band 80, no. 2. P. 567-591.
10. *Maddocks R., Iliffe T.* Podocopida Ostracoda of Bermuda caves // *Stygologia*. 1986. Vol. 2, no. 112, p. 26-52.
11. *Yasuhara M., Okahashi H., Cronin T.* Taxonomy of Quaternary deep-sea Ostracods from the Western North Atlantic Ocean // *Palaeontology*. 2009. Vol. 52. Part 4. P. 879-931.

REFERENCES

1. *Schornikov E.I.* 2012. New species of ostracodes to Black and Azov seas fauna// *Recent micropaleontology*. Gelendzhic. P. 257-259. — in Russian
2. *Babinot J., Boukli-H.S.* 1998. The Messinian from the northern Tessala region (Orania, Algeria): mixt platform facies and their Ostracode assemblages. *Revue Micropaleontologie*. Vol. 41, no. 1, p. 3-17.
3. *Barbeito-Gonzalez P.* 1971. The ostracods of the coastal area of Naxos (Greece) and their areas of life). *Mitt.Hamburg. Zool. Inst.* Band 67. S. 255-326. — in German
4. *Bonaduce C., Russo A.* 1984. The Miocene Ostracodes of Sardinia. *Bollettino Societa Paleontologica Italiana*. Vol. 23, no. 2, p. 421-437.
5. *Brandão S.N.* 2008. First Record of a living Platycopida (Crustacea, Ostracoda) from Antarctic waters and a Discussion on *Cytherella serratula* (Brady, 1880). *Zootaxa*. P. 349-372.
6. *Ciampo G.* 1985. Ostracoda of the Tortonian / Messinian limit in some Italian sections. *Bulletin of the Italian Paleontological Society*. Vol. 24, no. 1, p. 29-110. — in Italian
7. *Cronin T.* 1983/1984. Batial ostracodes from the Florida-Hatteras slope, the straits of Floridfa, and the Blake Plateau. *Marine micropaleontology*. Vol. 8, p. 89-119.
8. *Guemet C., Lemeille F., Sorel D. et al.* 2003. Ostracodes and Quaternary from Aigion (gulf of Corinth, Greece). *Revue de Micropaleontologie*. Vol. 46, p.73-93. — in Italian
9. *Keyser D., Schöning C.* 2000. Holocene Ostracoda (Crustacea) from Bermuda. *Senckenbergiana lethaea*. Band 80, no. 2, p. 567-591.
10. *Maddocks R., Iliffe T.* 1986. Podocopida Ostracoda of Bermuda caves. *Stygologia*. Vol. 2, no. 112, p. 26-52.
11. *Yasuhara M., Okahashi H., Cronin T.* 2009. Taxonomy of Quaternary deep-sea Ostracods from the Western North Atlantic Ocean. *Palaeontology*. Vol. 52, part 4, p. 879-931.

N.I. Dykan

QUATERNARY AND RECENT OSTRACODES OF THE TYRRHENIAN AND RED SEAS

PART 1: BAIRDIIDAE, BYTHOCYPRIDIDAE, CYTHERELLIDAE

The systematic study of the Quaternary and recent ostracodes of the Tyrrhenian Sea (shelf, deep water) and the Red Sea (coastal coral reef zone) includes a systematic description of the 14 species of ostracodes of the order Podocopida (the families Bairdiidae and Bythocyprididae) and the order Platycopida (the family Cytherellidae). For species specified in the nomenclature *sp.nov.* (3 species), *sp.* (2 species), *aff.* (1 species) except synonyms, size, location, stratigraphic position and geographical distribution was given holotype and diagnosis. Images of the external and internal structure of the carapace are made on the SEM JEOL JSM-6490 LV (6 phototables).

Key words: Ostracoda, systematics, Tyrrhenian Sea, Red Sea, Quaternary, Recent.

Н.И. Дикань

ЧЕТВЕРТИЧНЫЕ И РЕЦЕНТНЫЕ ОСТРАКОДЫ ТИРЕНСКОГО И КРАСНОГО МОРЕЙ ЧАСТЬ 1: BAIRDIIDAE, BYTHOCYPRIDIDAE, CYTHERELLIDAE

Систематическое изучение четвертичных и рецентных остракод Тиренского моря (шельф, глубоководная впадина) и Красного моря (прибрежная зона коралловых рифов) включает систематическое описание 14 видов остракод рядов Podocopida (семьи Bairdiidae, Bythocyprididae) и Platycopida (семья Cytherellidae). Для видов, определенных в номенклатуре *sp.nov.* (3 вида), *sp.* (2 вида), *aff.* (1 вид), кроме синонимии, размеров, местонахождения, стратиграфического положения и географического распространения, приведены голотип и диагноз. Изображение внешнего и внутреннего строения ракушки сделаны на SEM JEOL JSM-6490 LV (6 фототаблиц).

Ключевые слова: остракоды, систематика, Тиренское море, Красное море, квартал, современные виды.

Інститут геологічних наук НАН України, м. Київ

Дикань Наталія Іванівна

E-mail: natadykan@mail.ru

Стаття надійшла: 27.11.2018